BCPST1 – G. Furelaud 1/15

SV-A-2 poly 01

Les Fabacées - documents

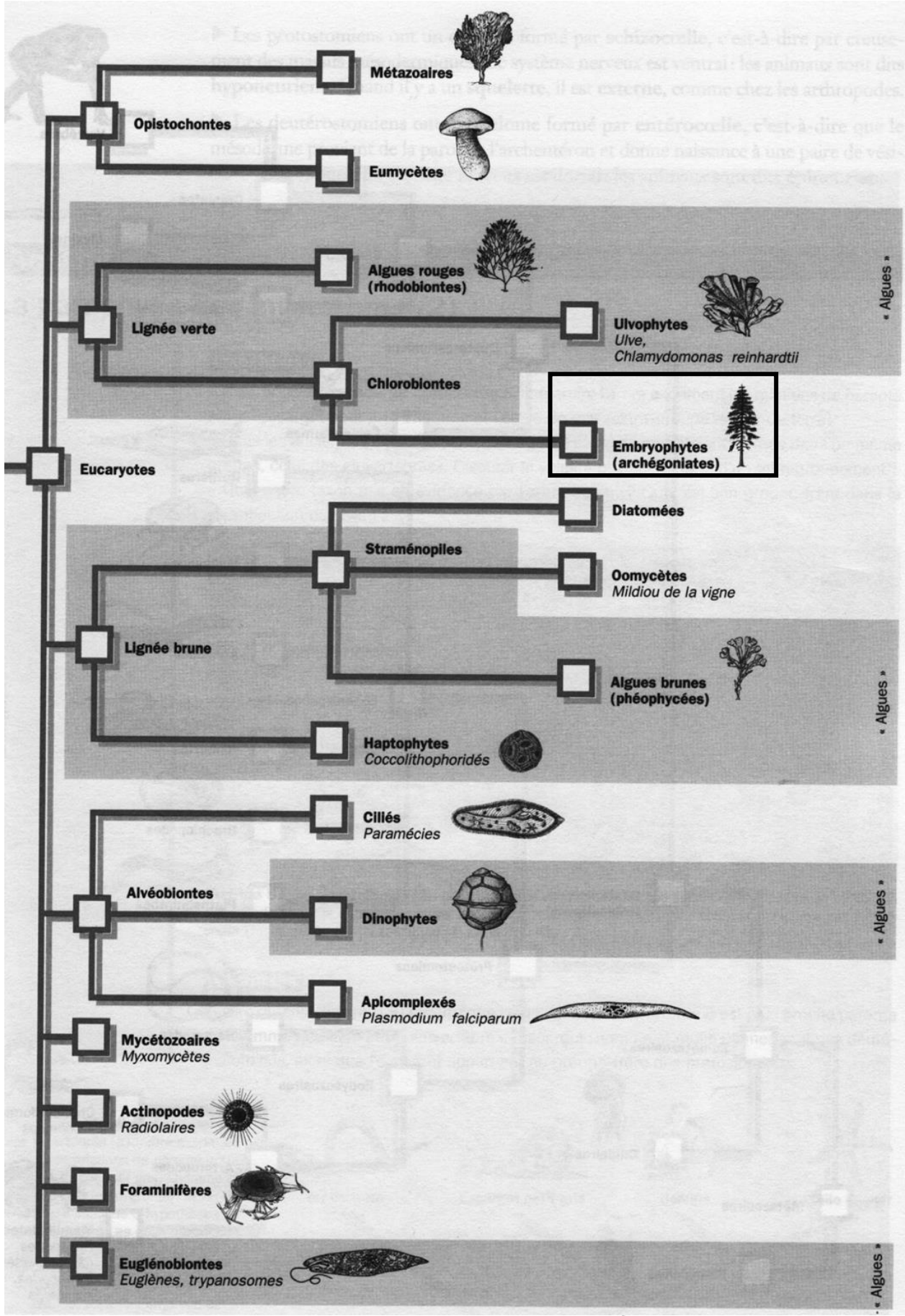


Fig. 1. Phylogénie simplifiée des Eucaryotes. **†** [2]

BCPST1 – G. Furelaud 2/15

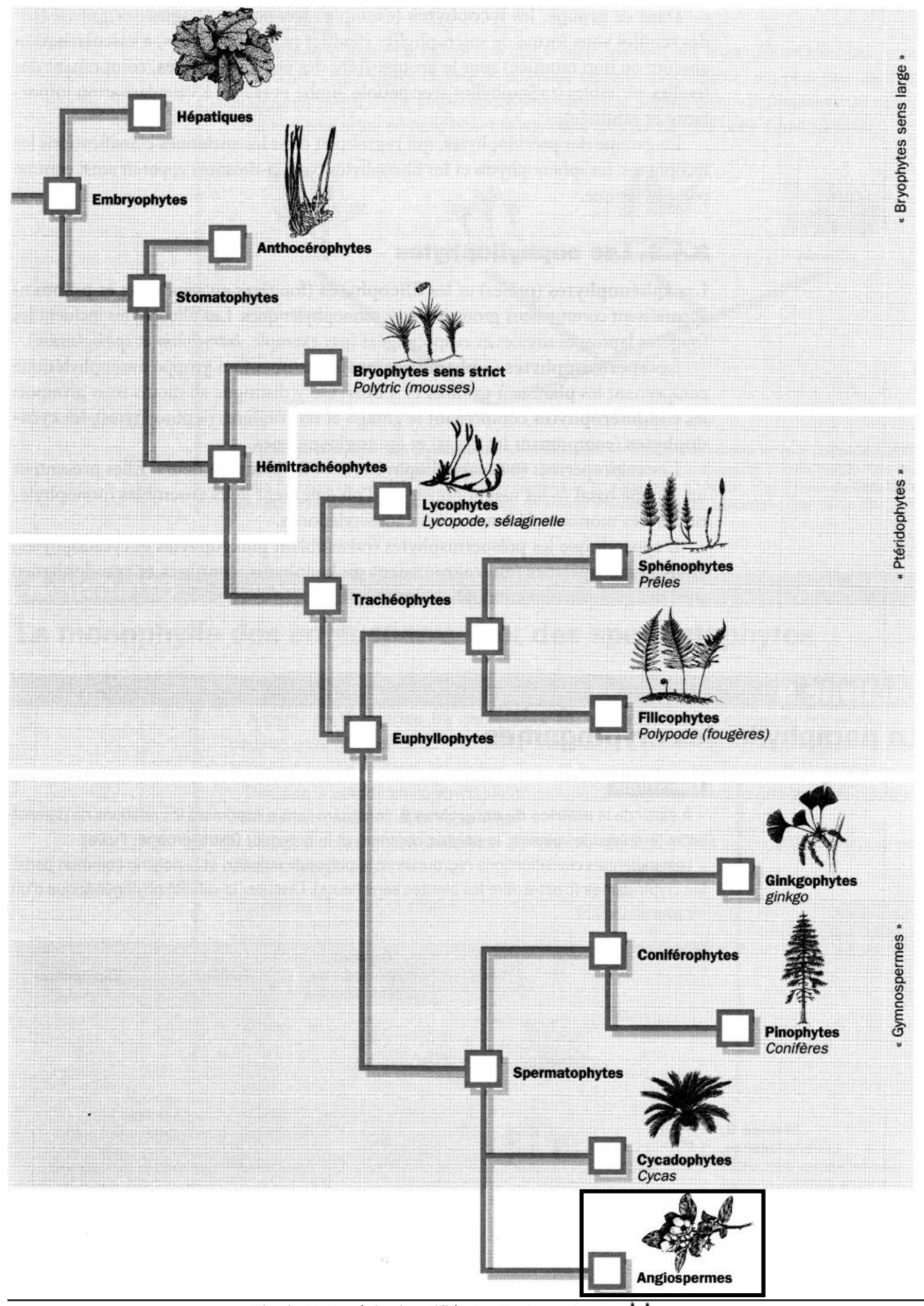


Fig. 2. Phylogénie simplifiée des Embryophytes. ** [2]

BCPST1 – G. Furelaud 3/15

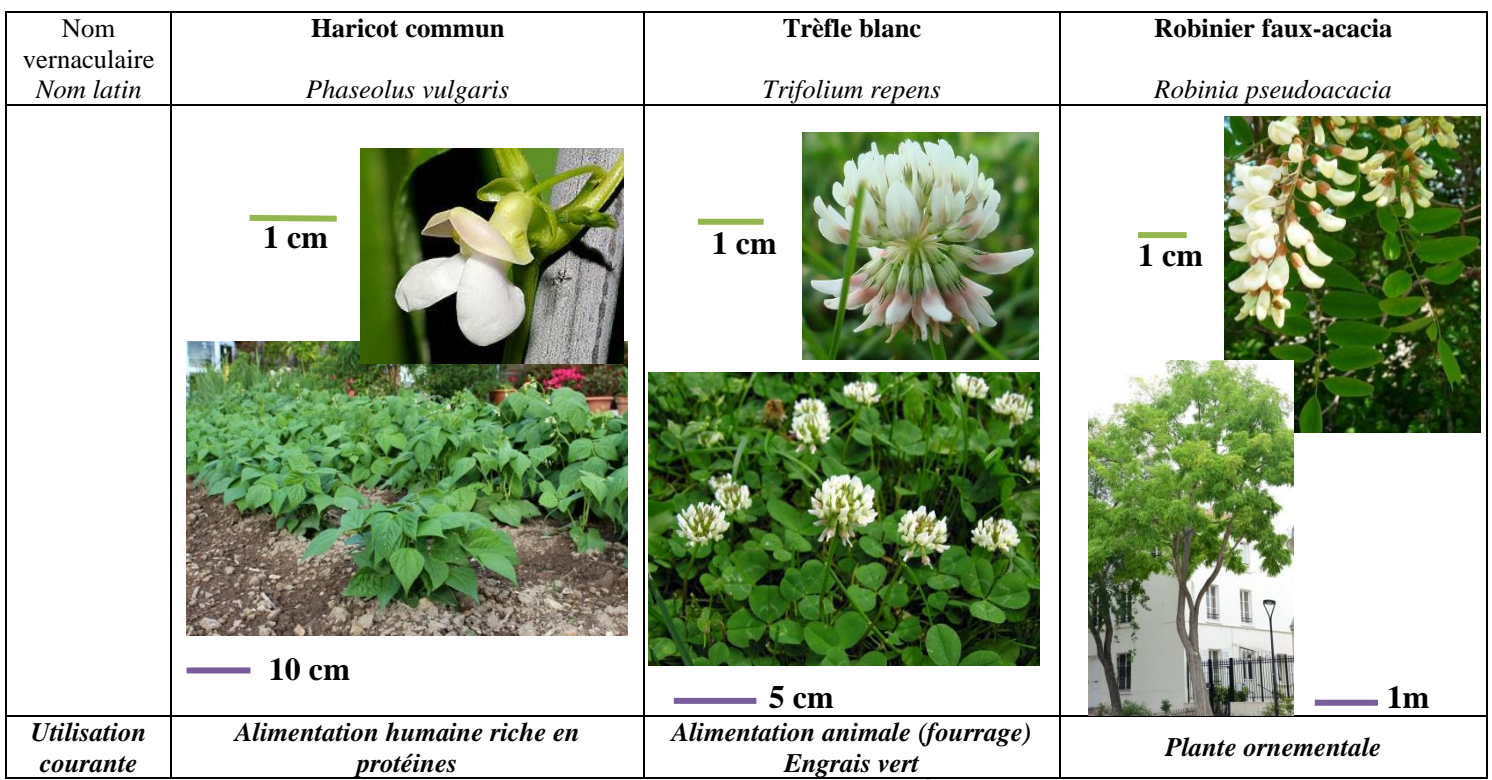


Fig. 3. Trois exemples de Fabacées.

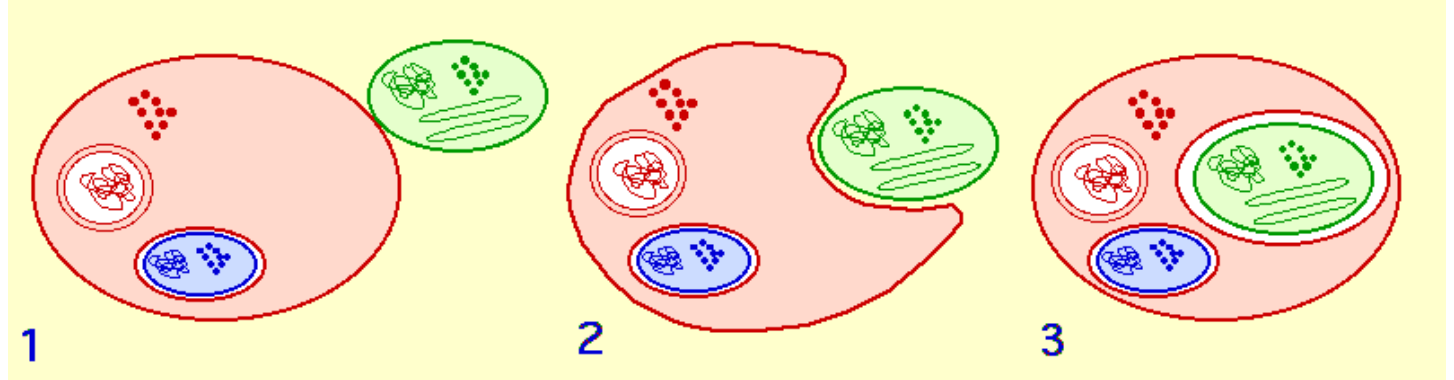


Fig. 4. L'endosymbiose des chlorobiontes. ** [4]

1-2. Absorption d'une bactérie photosynthétique par une cellule eucaryote hétérotrophe. 3. Cette bactérie devient un chloroplaste, ses membranes internes ont une origine bactérienne. La membrane externe de l'enveloppe a pour origine la membrane plasmique de la cellule elle-même. La cellule eucaryote devient alors autotrophe.

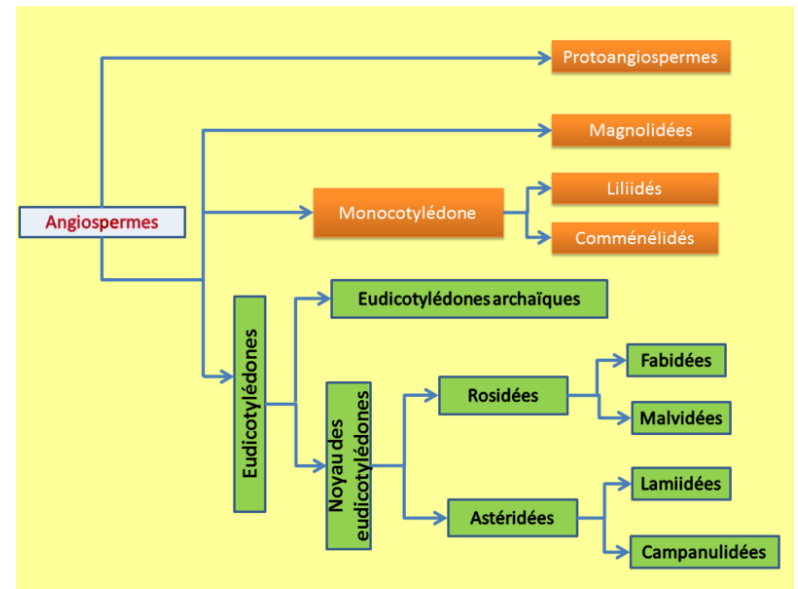


Fig. 5. Classification phylogénétique des Angiospermes. * [5]

BCPST1 - G. Furelaud 4/15

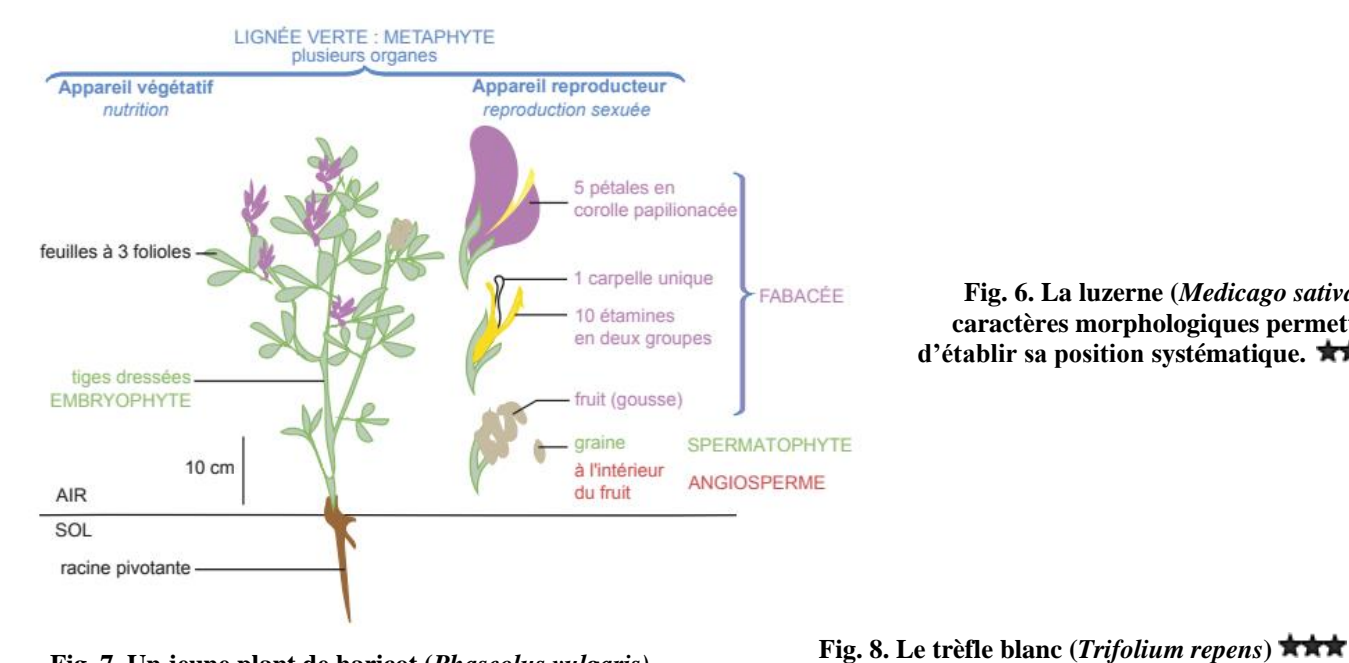


Fig. 6. La luzerne (Medicago sativa): caractères morphologiques permettant d'établir sa position systématique. *** [3]

Fig. 7. Un jeune plant de haricot (Phaseolus vulgaris) [1]

bourgeon terminal première | pétiole feuille composée | foliole appareil caulinaire feuille entière collet racine appareil racinaire **Plantule** de Haricot.

Appareil végétatif et inflorescence nervation

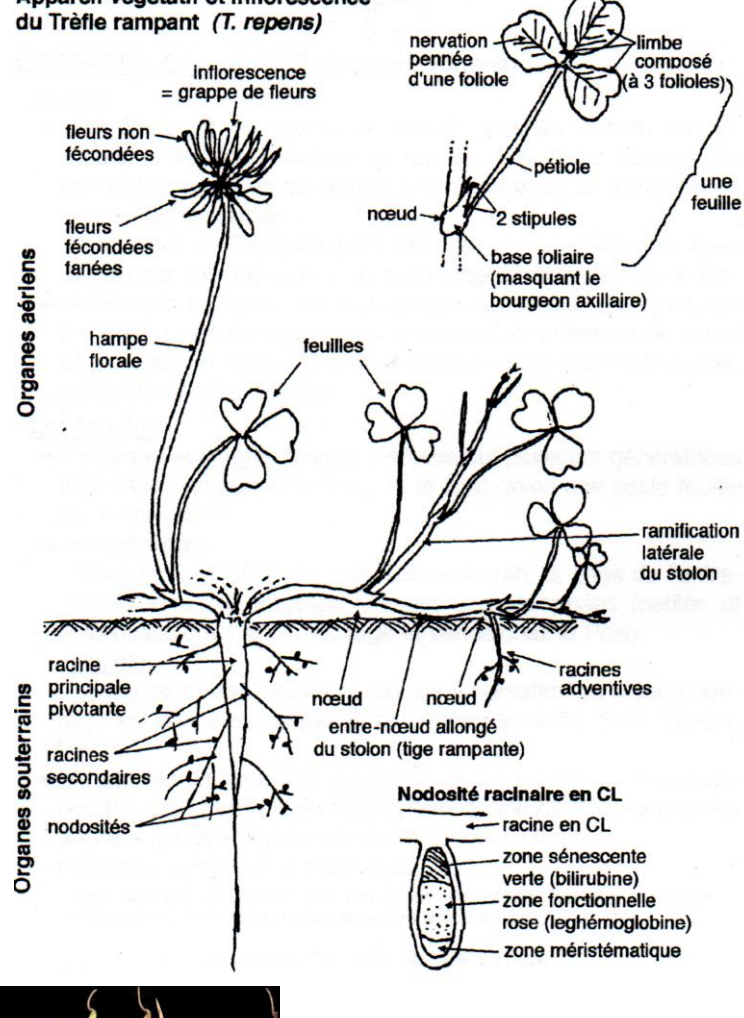






Fig. 9. La fleur de haricot et son fruit (à gauche); maturation et ouverture du fruit (à droite) **†** [1]

BCPST1 – G. Furelaud 5/15

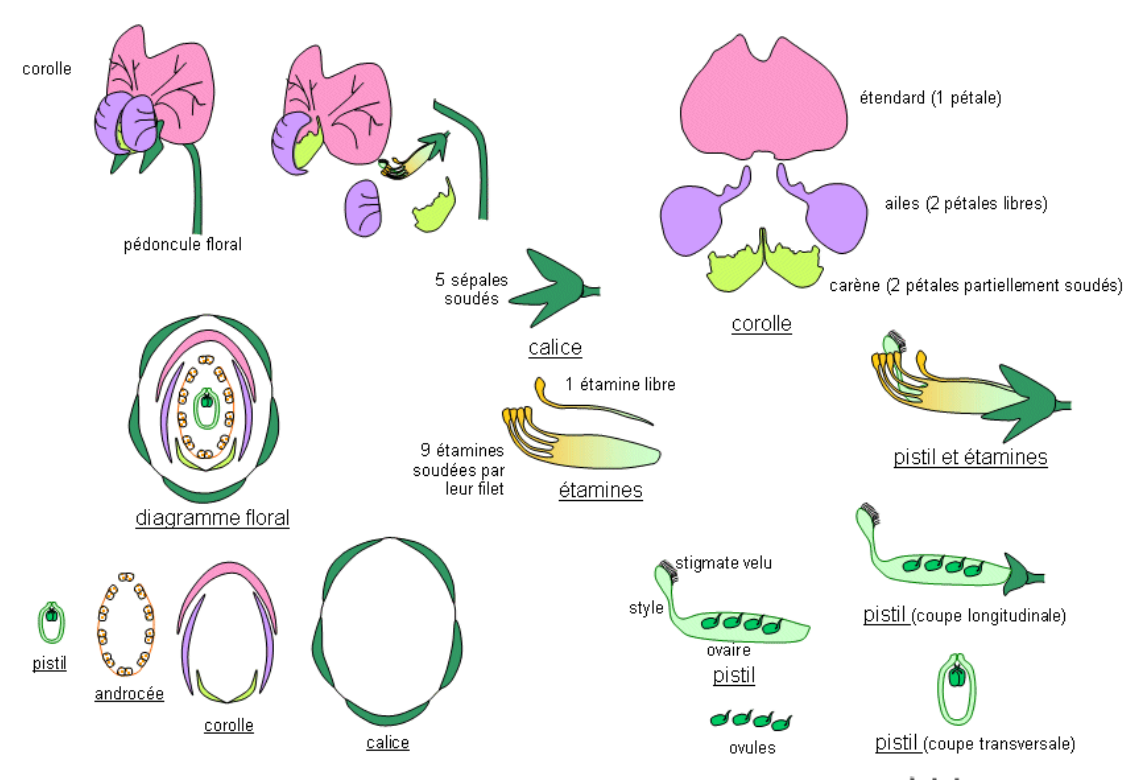


Fig. 10. La fleur des Fabacées : l'exemple du Pois (Pisum sativum).

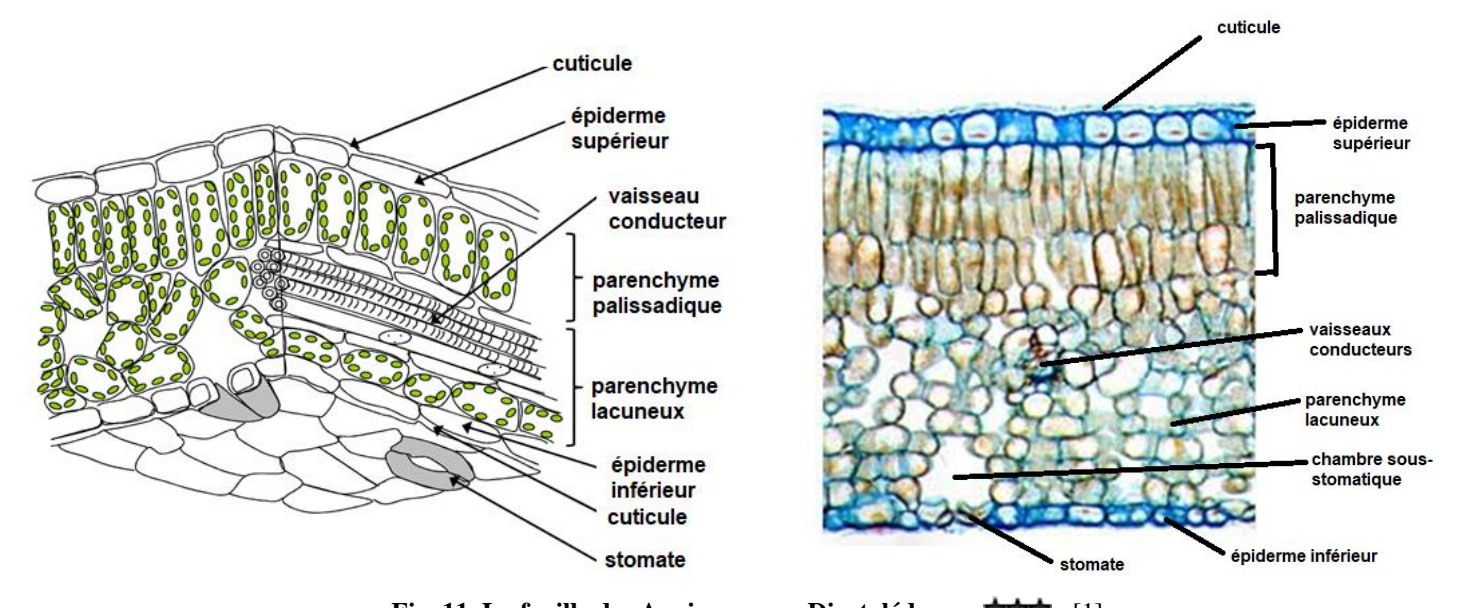


Fig. 11. La feuille des Angiospermes Dicotylédones.

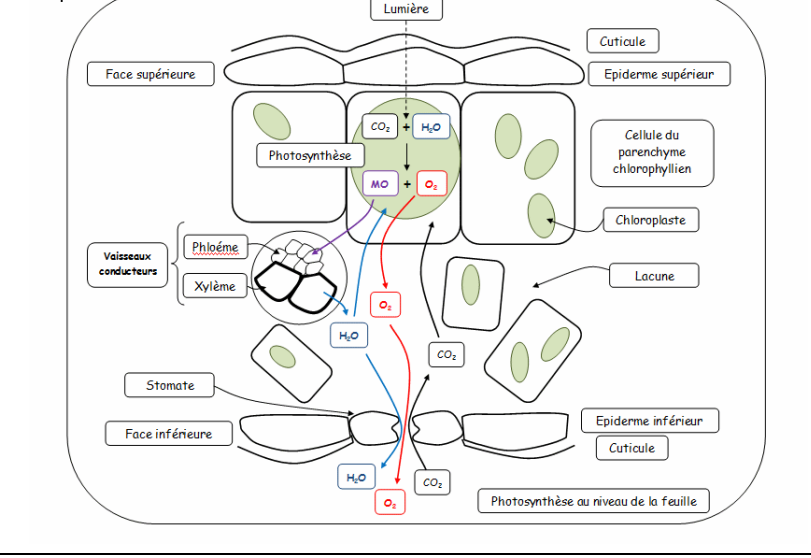


Fig. 12. Les flux au sein de la feuille.

BCPST1 – G. Furelaud 6/15

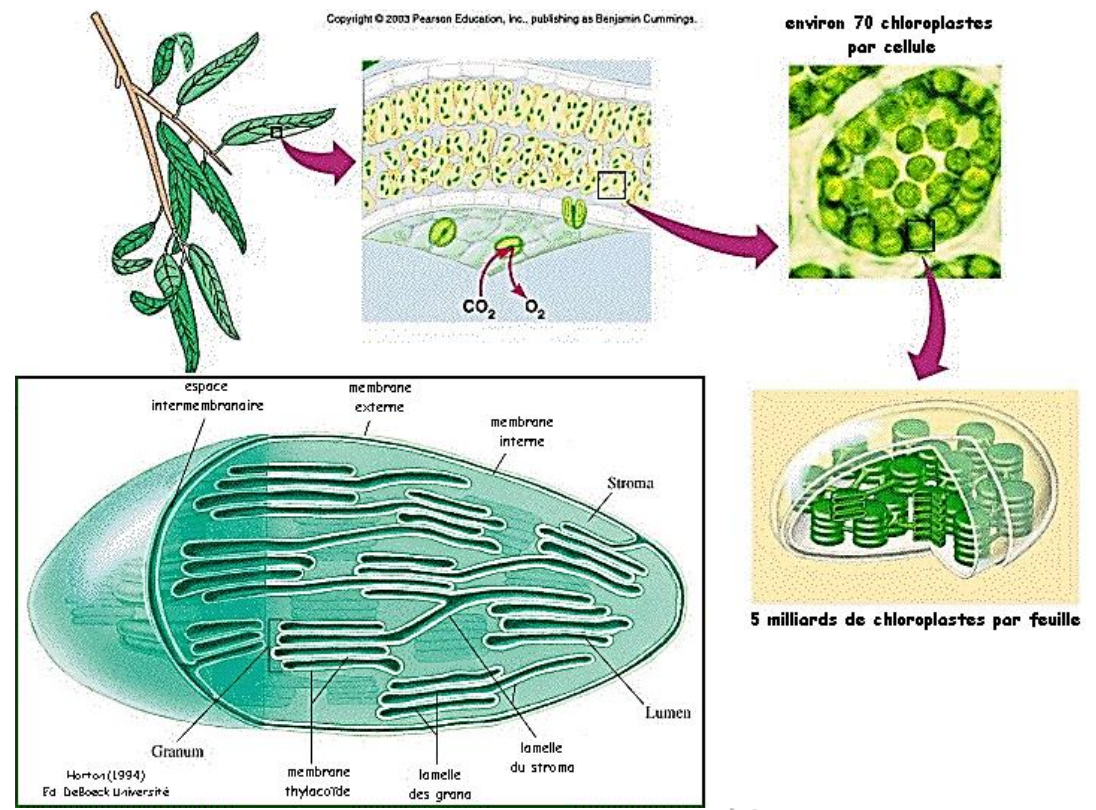


Fig. 13. De la feuille au chloroplaste. ** [1]

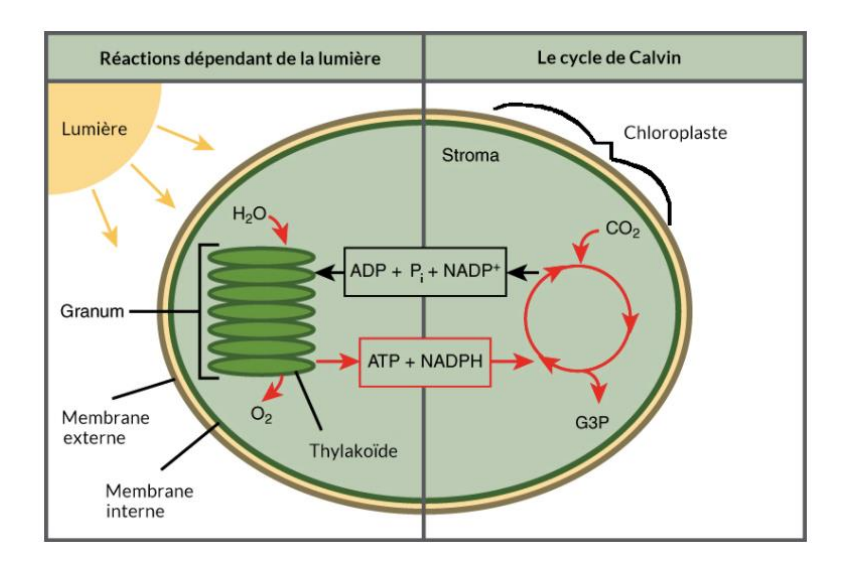


Fig. 14. Les deux phases de la photosynthèse.

① La phase **photochimique** dépend directement de la lumière. Elle permet la production :

- De coenzymes énergétiques (**ATP**)
- De coenzymes réduits (**NADPH,H**+)

L'eau H2O est oxydée en dioxyègne O2

② L'énergie et le pouvoir réducteur apportés par l'ATP et le NADPH,H+ permettent ensuite la fixation du CO2, au cours du **cycle de Calvin** (phase non photochimique). La matière organique est produite sous forme de trioses-phosphate :

G3P =**glycéraldéhyde-3-phosphate**

Le C minéral (CO2) est réduit en C organique (G3P)

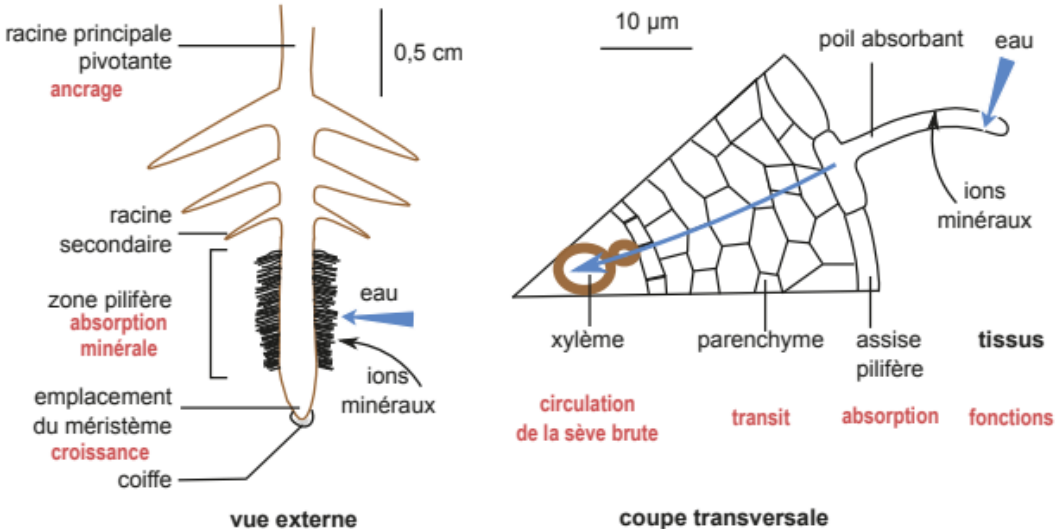


Fig. 15. Organisation fonctionnelle d'une jeune racine.

BCPST1 – G. Furelaud 7/15

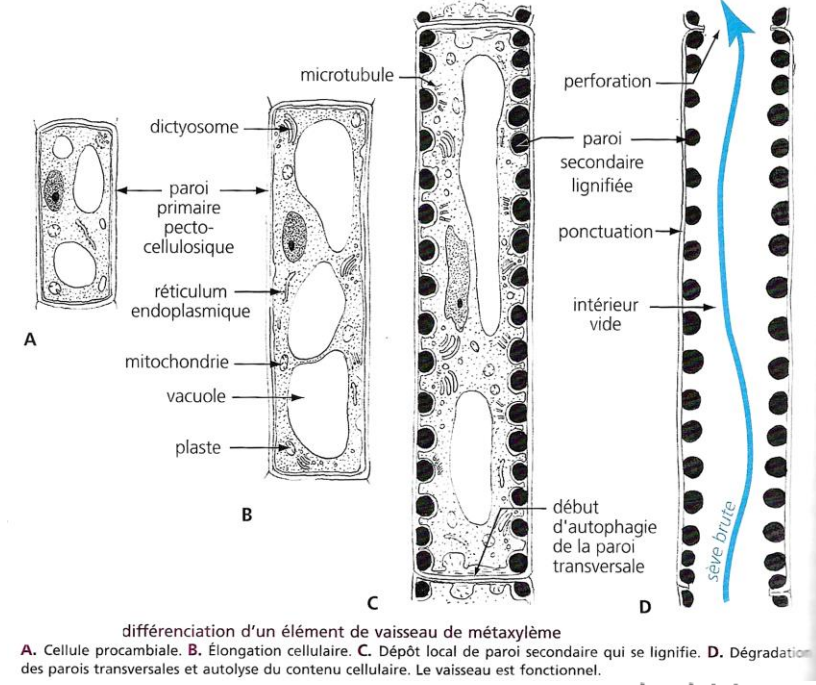
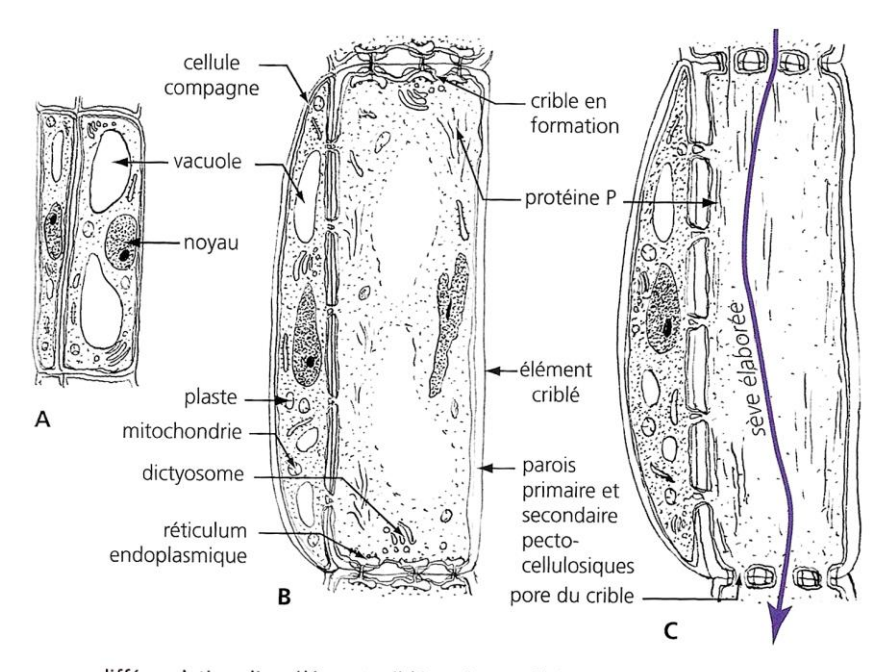


Fig. 16. La différentiation d'un vaisseau du xylème. ★ / ★★★ [1]



différenciation d'un élément criblé et de sa cellule compagne dans le métaphloème Division longitudinale inégale de la cellule procambiale. B. Dépôt de paroi secondaire dans l'élément criblé qui callonge. C. État différencié, fonctionnel.

Fig. 17. La différentiation d'un tube criblé du phloème. ★ / ★★★ [1]

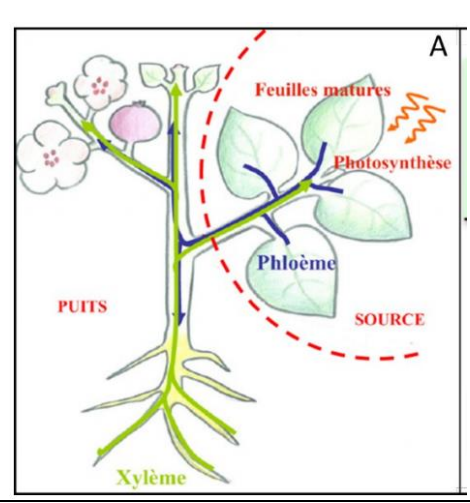


Fig. 18. Organes puits et organes sources.

BCPST1 – G. Furelaud 8/15

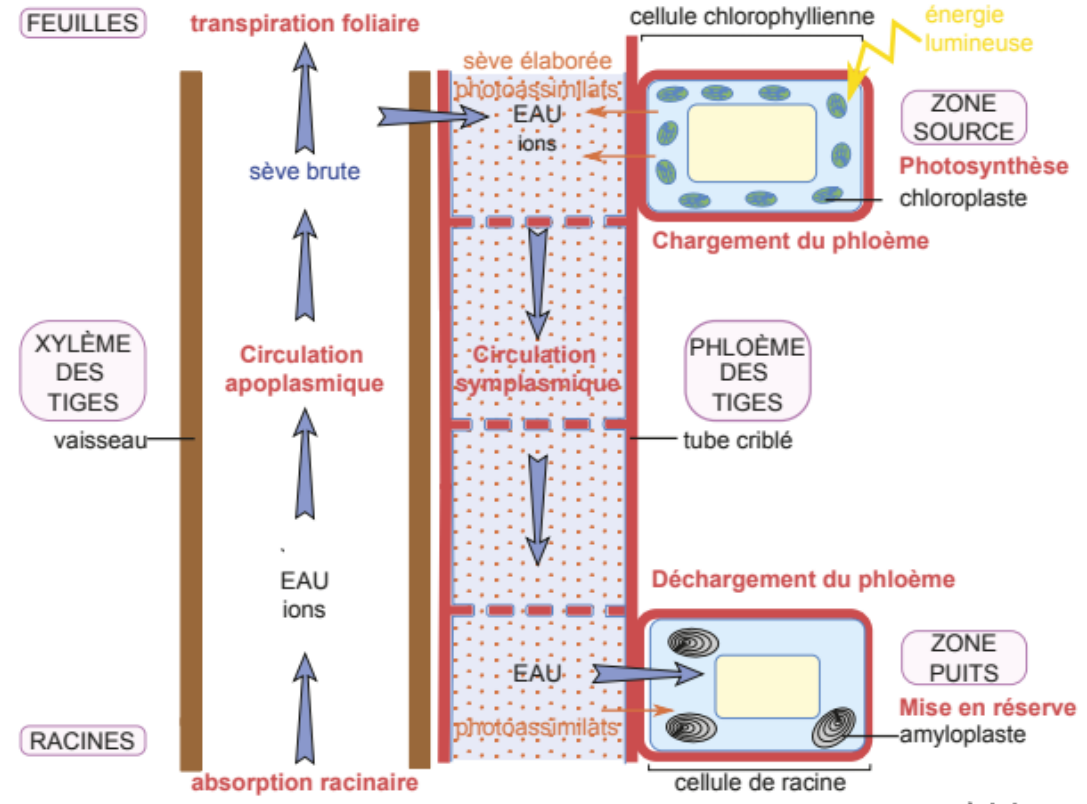


Fig. 19. Coopération entre organes sources et organes via la circulation des sèves. *** [3]

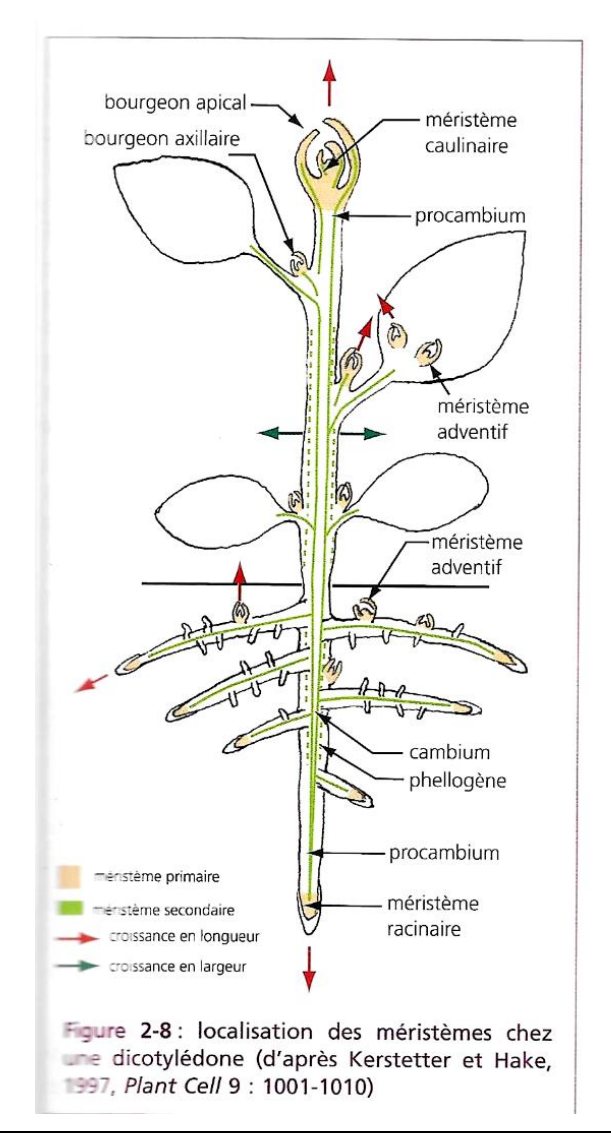


Fig 20. Méristèmes et croissance de l'Angiosperme. ** [1]

BCPST1 – G. Furelaud 9/15

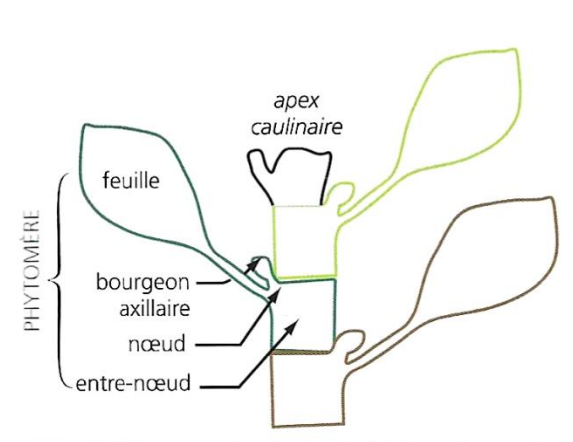


Figure 2-22 : organisation répétitive d'une tige feuillée

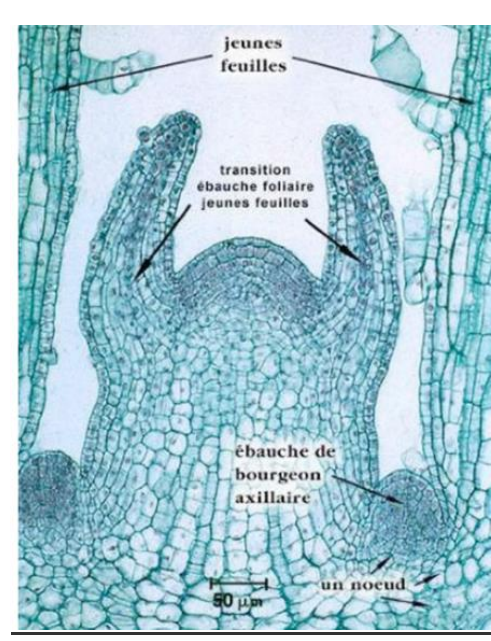


Fig. 21. [rappel] Méristème Apical Caulinaire et croissance en longueur de la tige en unités répétées, les phytomères [1]

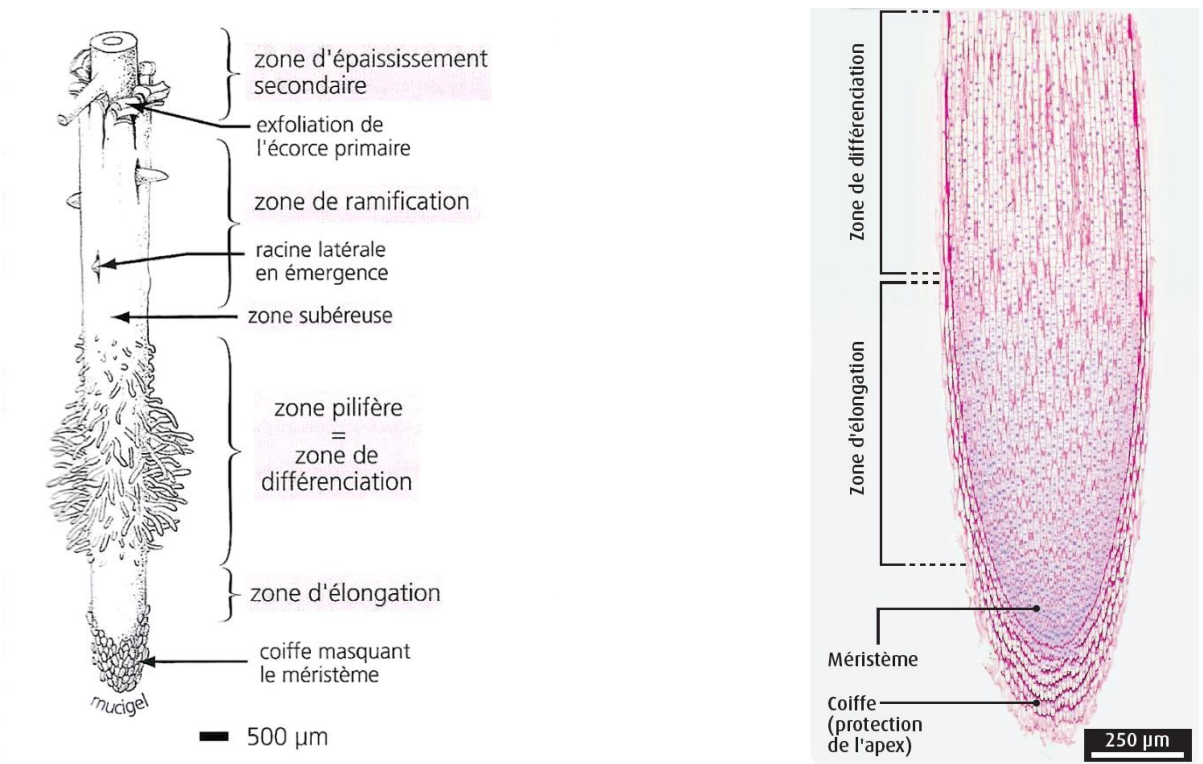


Fig. 22. [rappel] Méristème Apical Racinaire et croissance en longueur de la racine. [1]

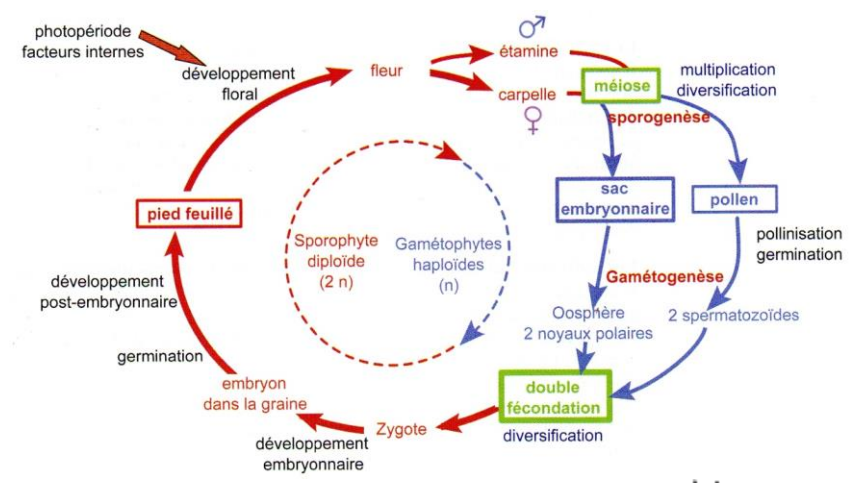


Fig. 23. Le cycle de reproduction des Angiospermes. ** [6]

BCPST1 – G. Furelaud 10/15

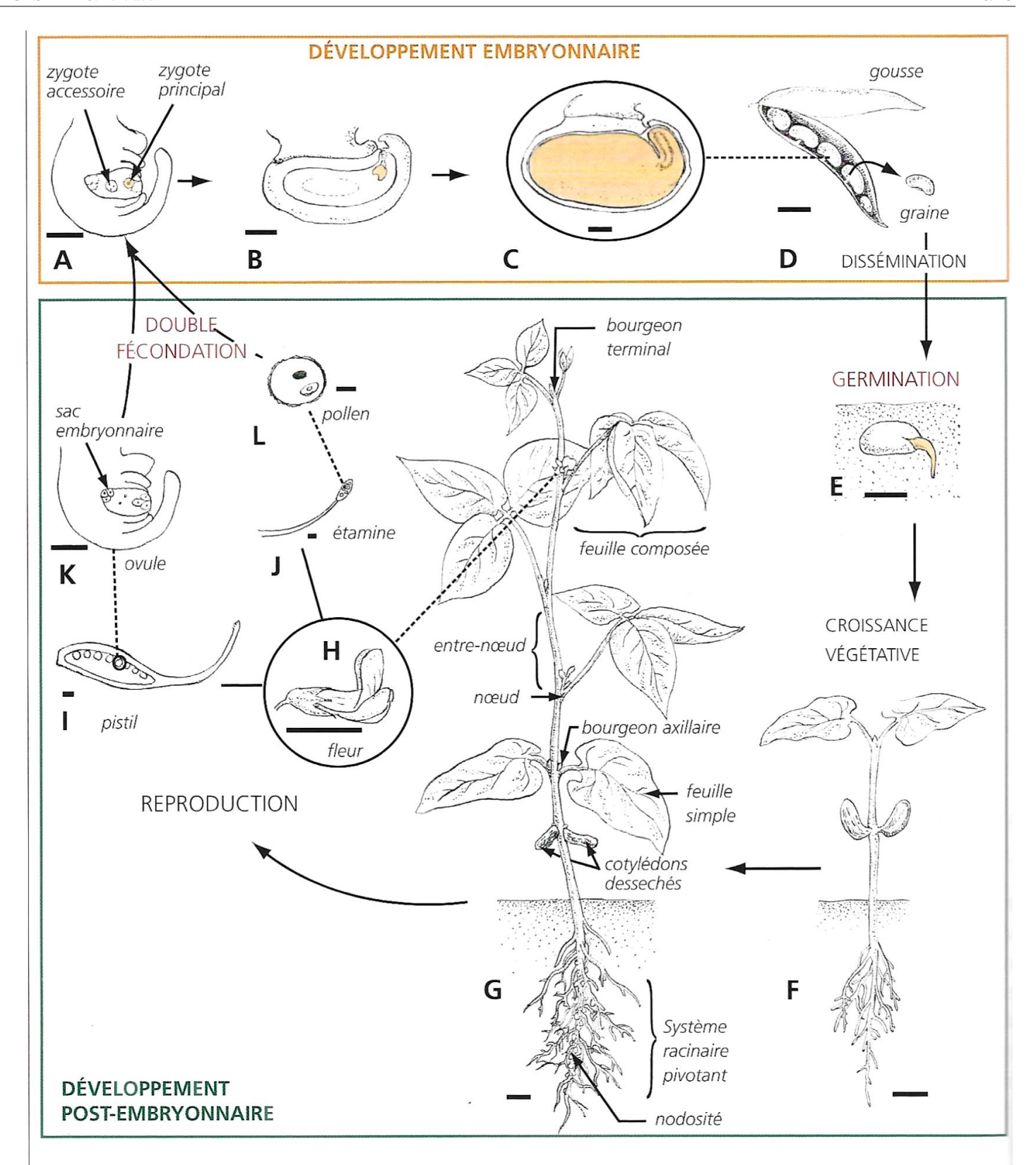


Figure 2-1: développement du haricot (*Phaseolus vulgaris*, Fabacées)

A-D. Développement embryonnaire. A-C. Sections longitudinales. A. Ovule juste après la fécondation. B. Embryon au stade torpille en orange, albumen en gris. C. Graine mûre exalbuminée. D. Dissémination des graines mûres à l'ouverture du fruit. E-L. Développement post-embryonnaire. E. Sortie de la radicule au cours de la germination. F-G. Croissance végétative jusqu'au stade adulte. H-L. Phase reproductrice (*cf.* figure 5-17). Échelles : 100 μm (A, B, K, L), 1 mm (C, I, J), 1 cm (D-H).

Fig. 24. Le cycle de reproduction d'une Fabacée. ** [1]

BCPST1 – G. Furelaud 11/15

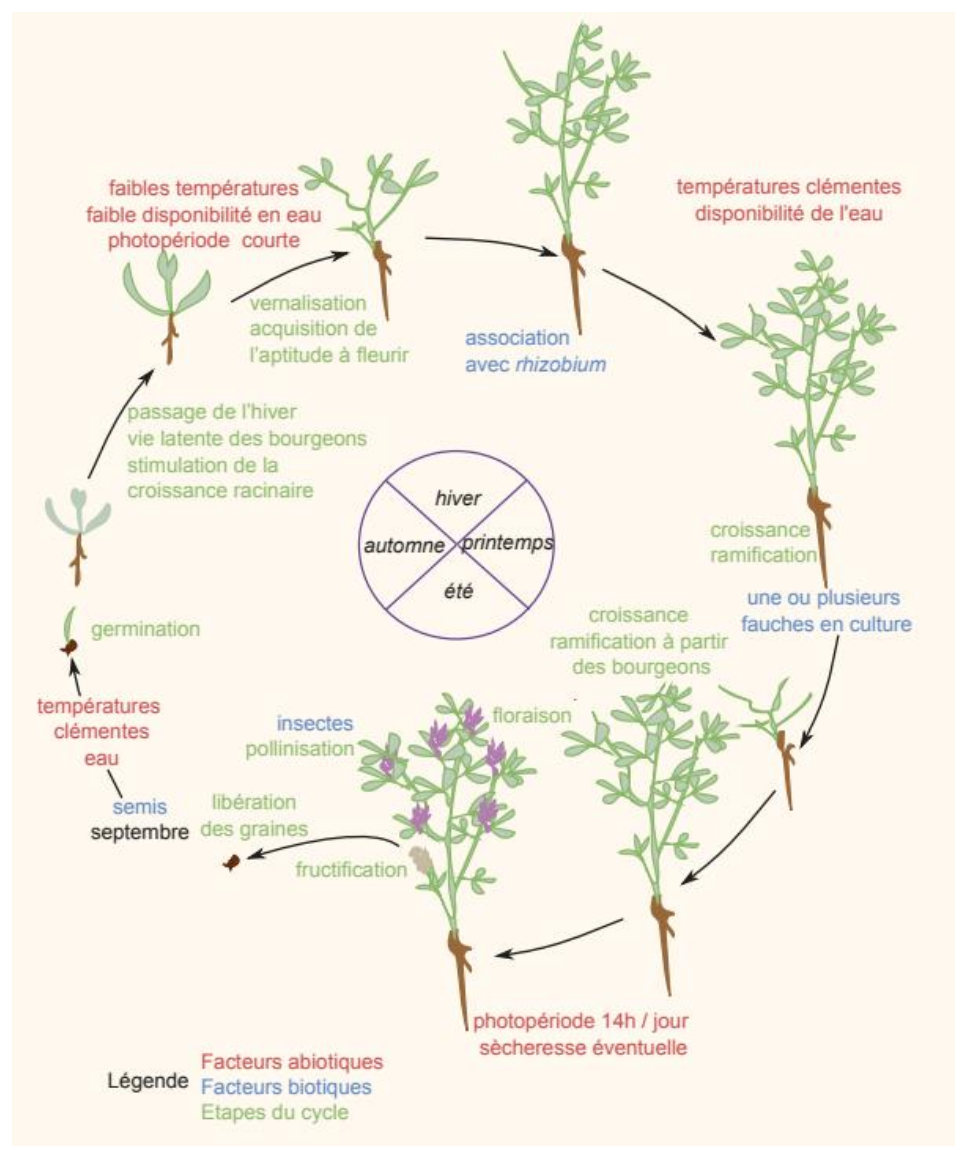
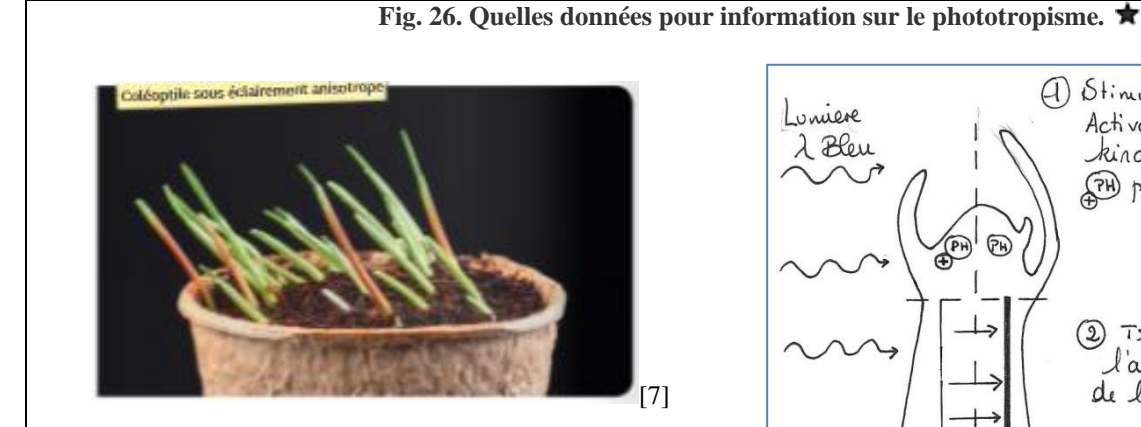


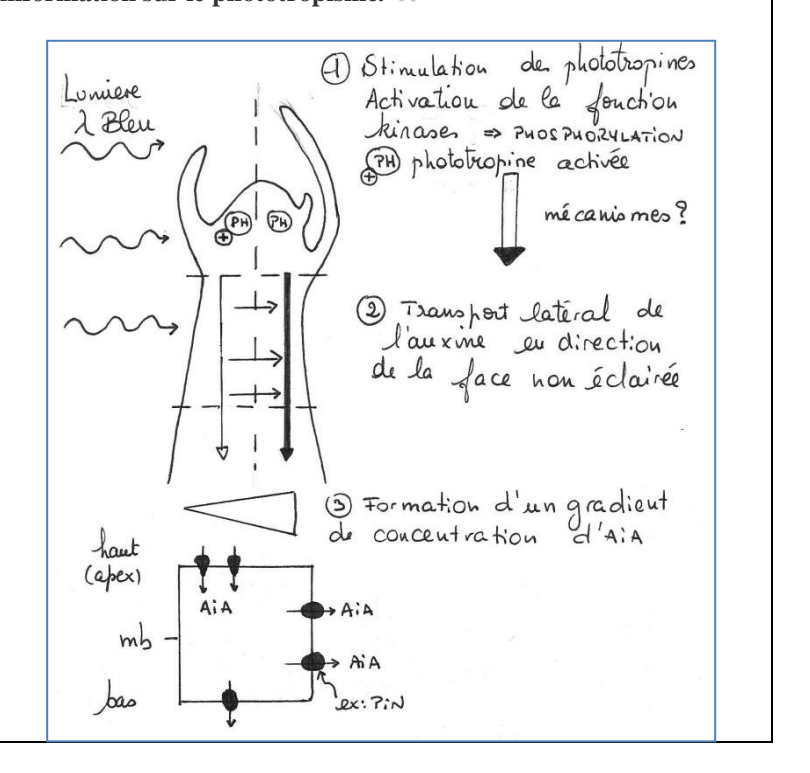
Fig. 25. Facteurs de contrôle du cycle de développement de la Luzerne cultivée, une Fabacée herbacée annuelle.



L'appareil caulinaire montre en général un phototropisme positif, orientant la croissance vers la lumière.

Ce tropisme est du à un mouvement latéral de l'auxine (hormone végétale stimulant l'élongation des cellules de la tige) vers la face à l'obscurité : la face « côté sombre » s'allonge ainsi de manière plus importante que la face « côté éclairée », d'où l'orientation du végétal vers la source lumineuse.

L'auxine est synthétisée par le Méristème Apical Caulinaire, puis transportée du haut vers le bas dans la tige.



BCPST1 – G. Furelaud 12/15



Fig. 27. Mise en évidence d'un gravitropisme racinaire. ★ [4]

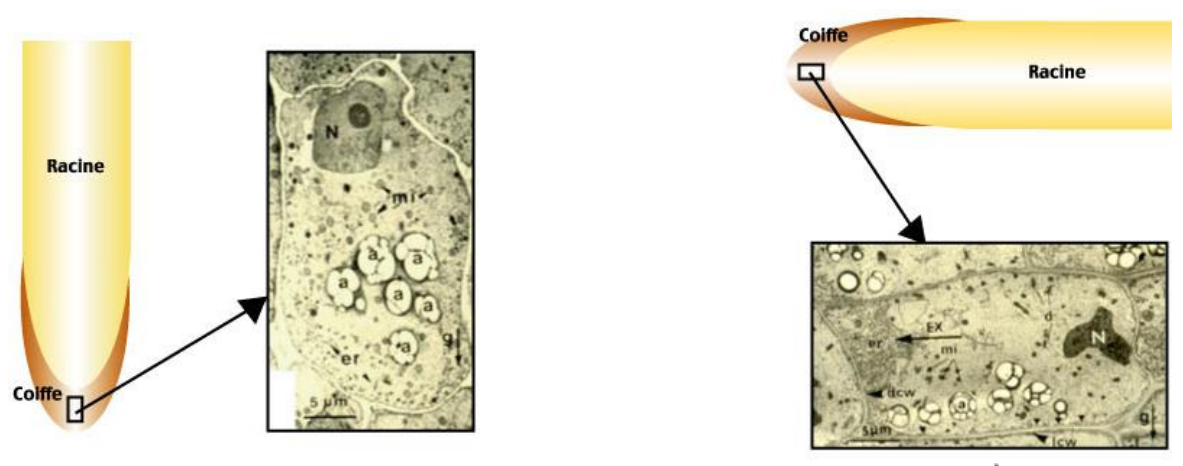


Fig. 28. Perception de la gravité par les statocytes de la coiffe racinaire. **★** [4]

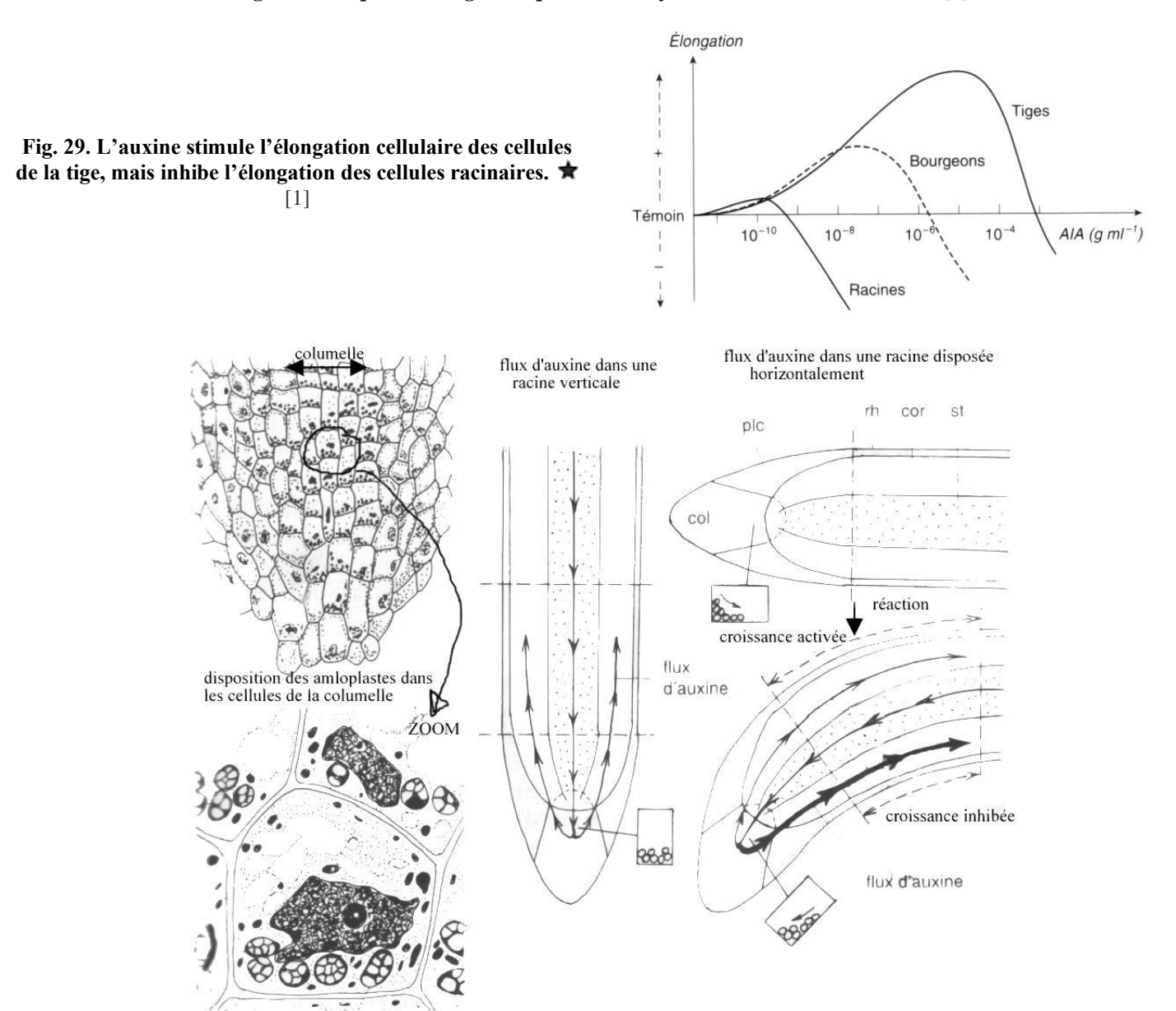


Fig. 30. Bilan du mécanisme (simplifié) du gravitropisme, par répartition hétérogène du flux d'auxine remontant. 🖈 [1]

amyloplaste

BCPST1 – G. Furelaud 13/15

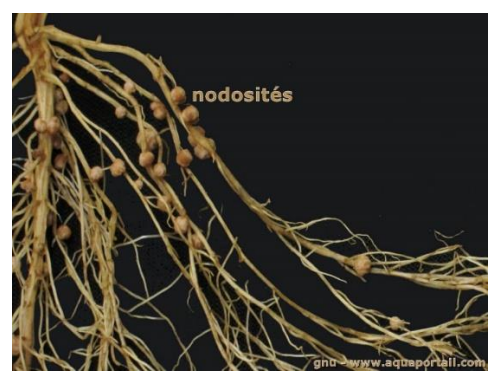


Fig. 31. Observation de nodosités sur une racine de Fabacées. ★ [1]

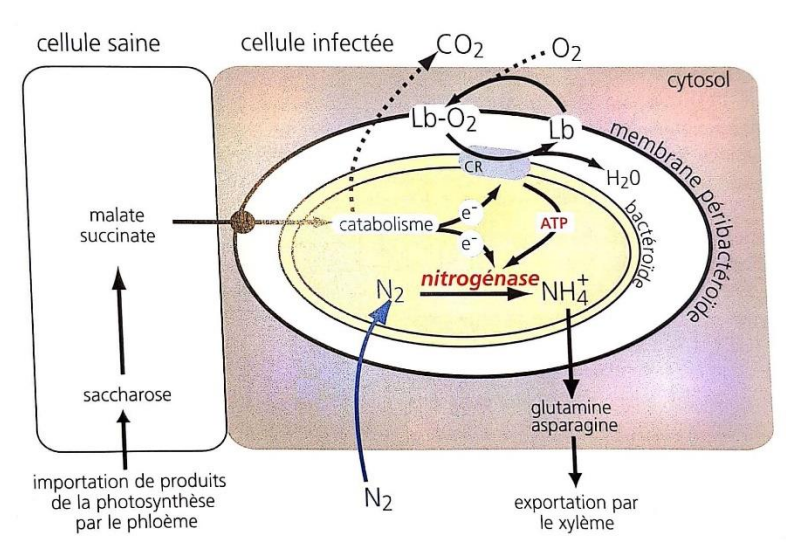


Fig. 32. La fixation du N2 résulte d'une coopération entre la Fabacée et le bactéroïde *Rhizobium*.

La Fabacée alimente le bactéroïde en matière organique (malate et succinate), et grâce à la Leghémoglobine (Lb) délivre le O_2 nécessaire à la chaine respiratoire de *Rhizobium* tout en empêchant que la teneur en O_2 soit importante.

En effet, le O₂ est nocif pour la nitrogénase, dont l'activité permet la réduction du N₂ en NH₄+, qui est ensuite utilisé pour la synthèse de molécules organiques azotées.

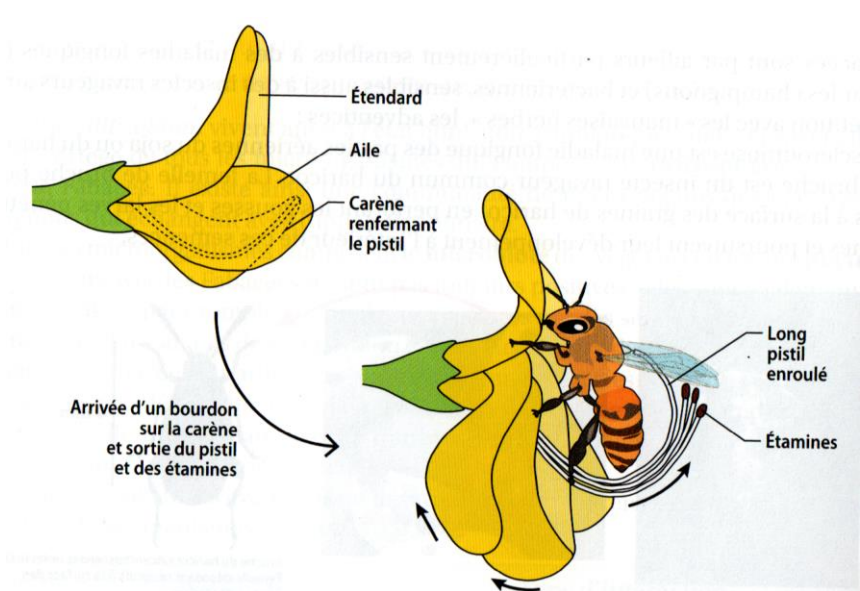


Fig. 33. Pollinisation d'une fleur de Genêt par un bourdon. ** [8]

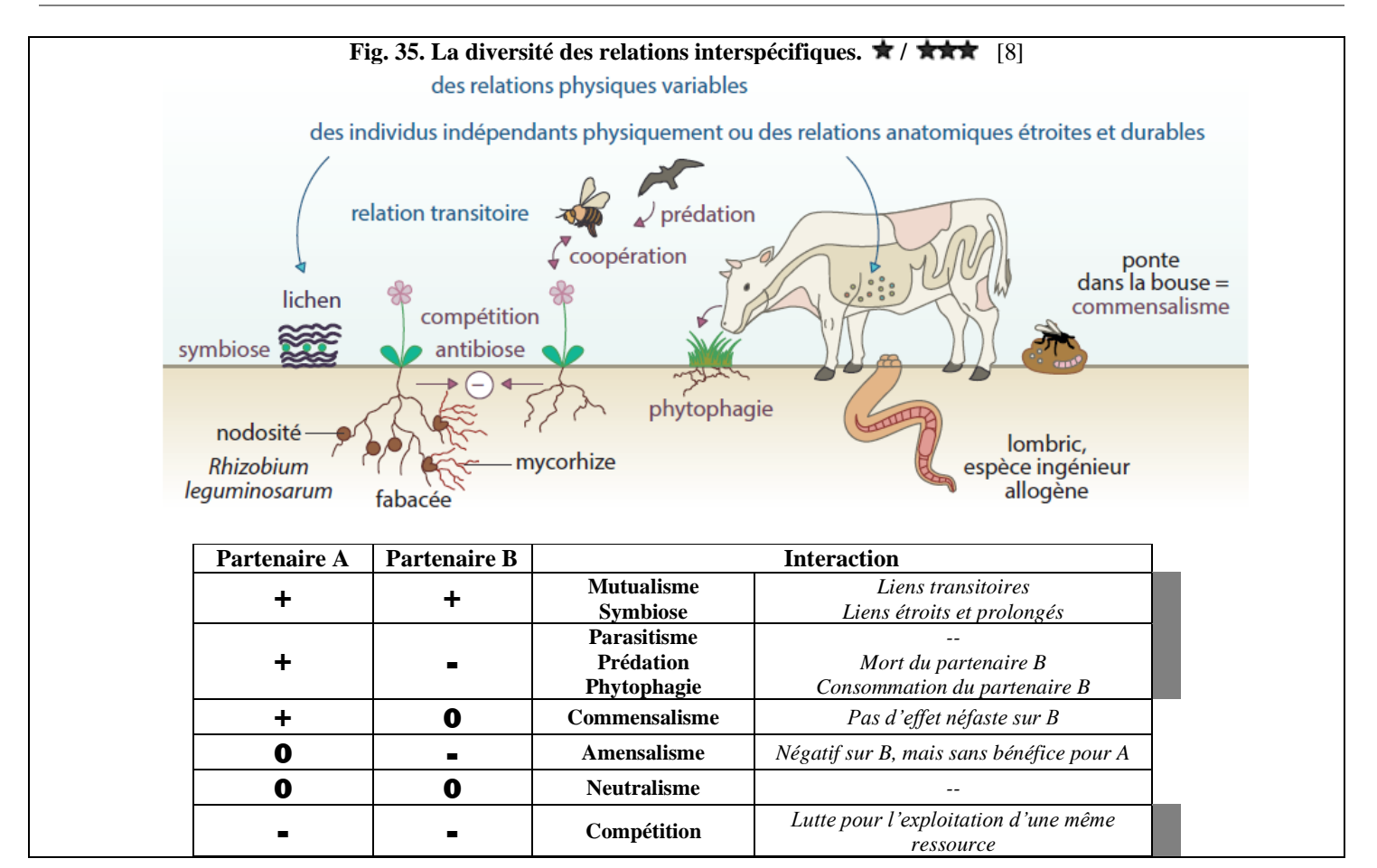






Fig. 34. Deux parasites du haricot : la slérotiniose (à gauche ; maladie fongique ; barre = 1cm) et la Bruche du haricot (à droite ; la femelle dépose ses œufs à la surface des graines de haricot ; barre = 4 mm).

BCPST1 – G. Furelaud 14/15



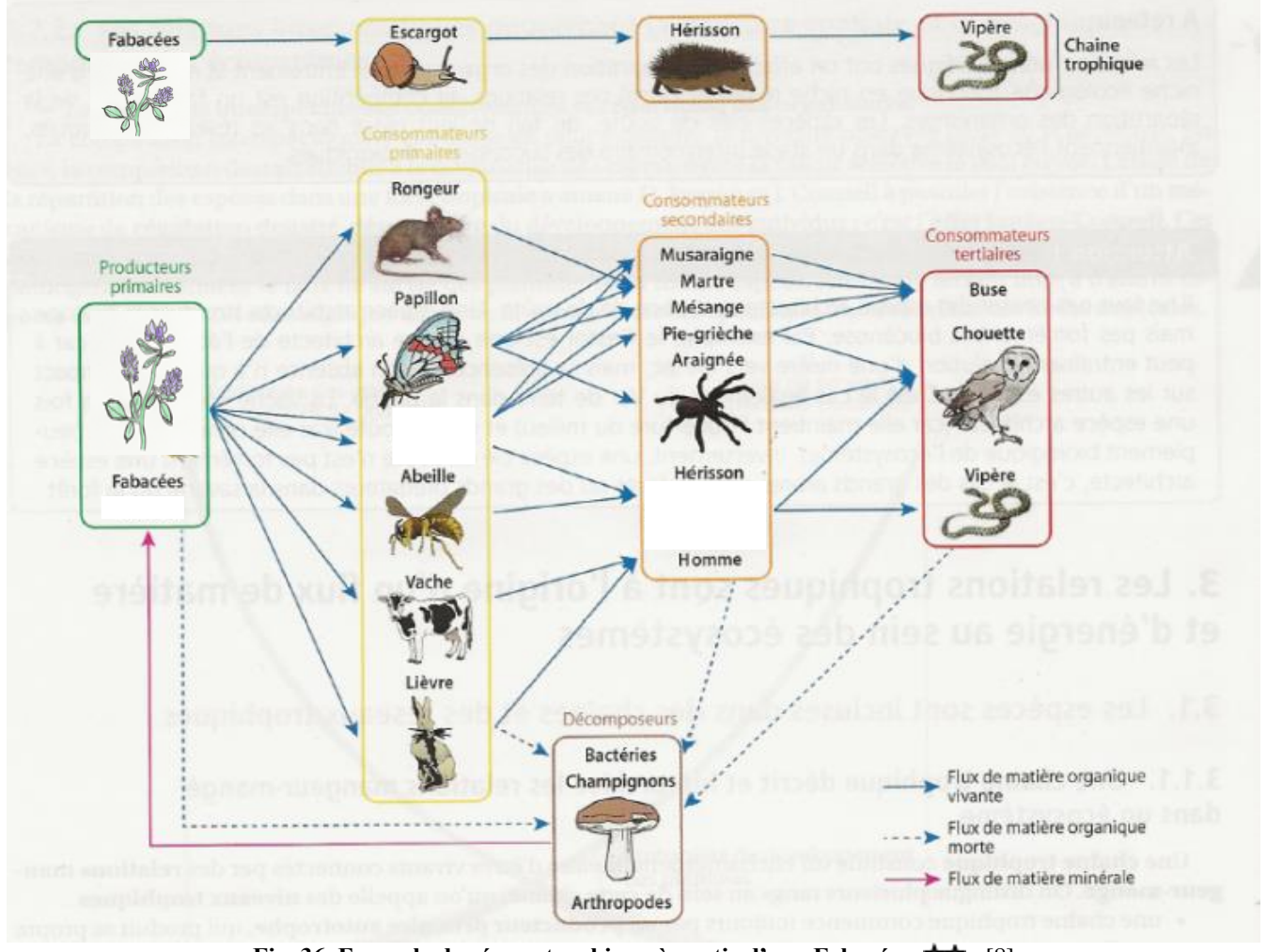


Fig. 36. Exemple de réseau trophique à partir d'une Fabacée. ** [8]

BCPST1 – G. Furelaud 15/15

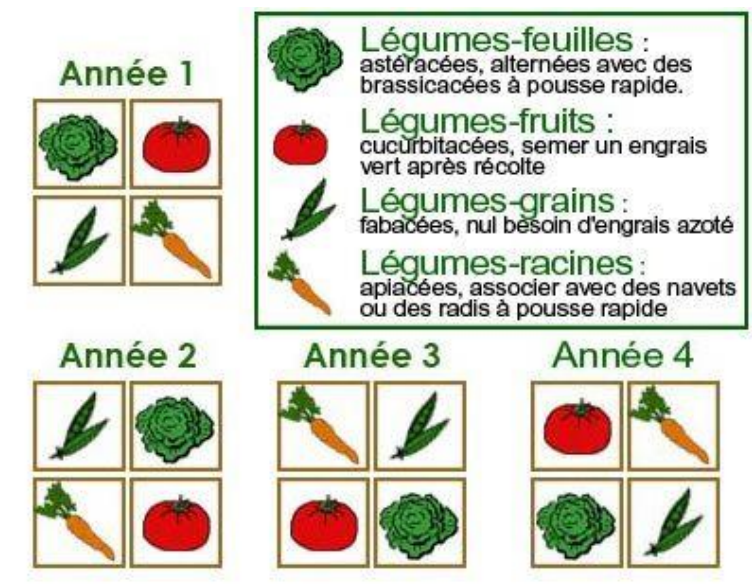


Fig. 37. Exemple de rotation des cultures dans le cadre d'une permaculture maraichère. * [1]

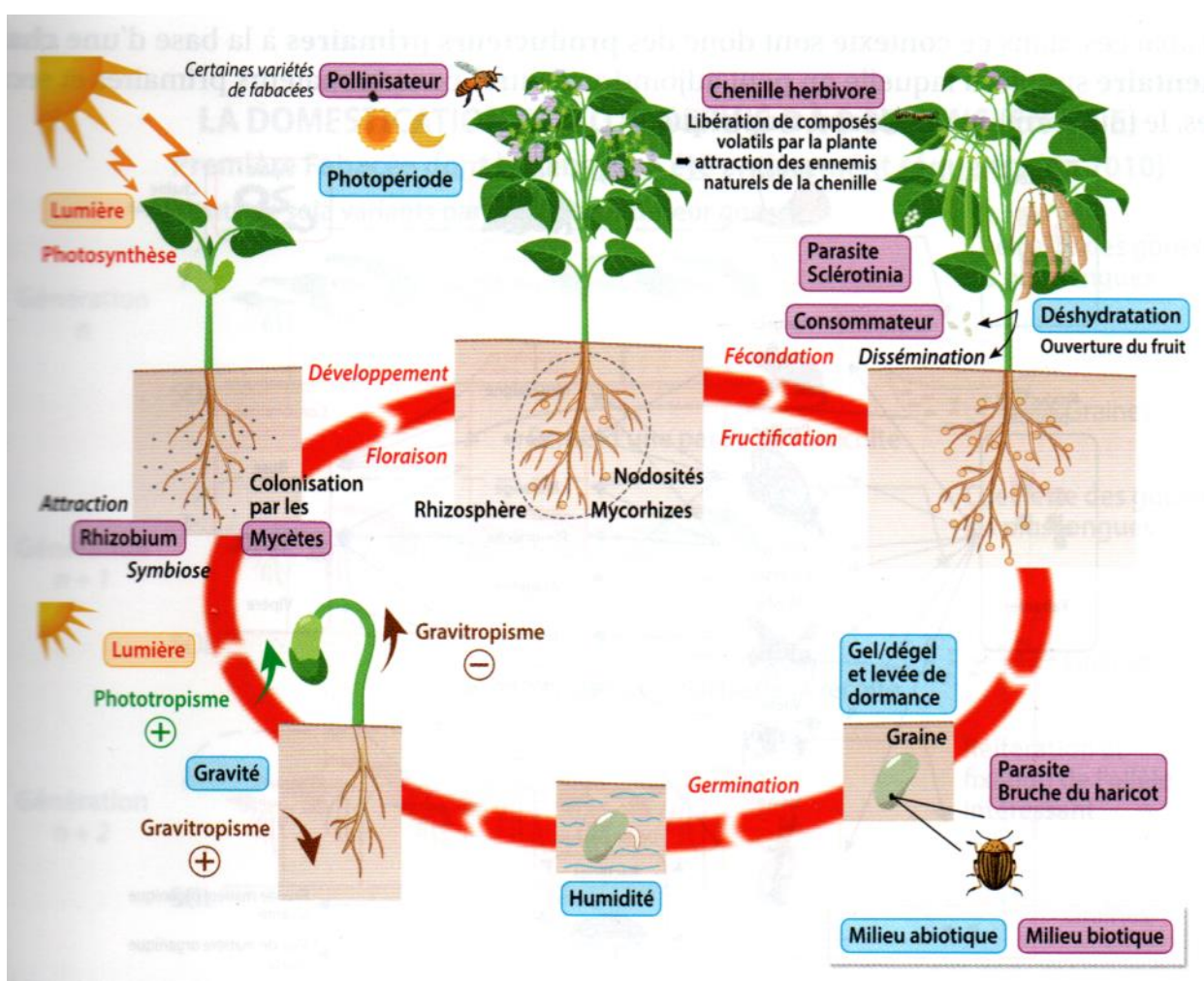


Fig. 38. Bilan :
Interactions entre une Fabacée et son environnement (biotique et abiotique) au cours de son cycle biologique.

Références	[1] Ouvrage ou page Internet non précisé
	[2] G. Lecointre. Comprendre et enseigner la classification du vivant. Belin
	[3] C. Perrier et al. Biologie BCPST1 tout-en-un. Dunod
	[4] BMédia, Sorbonne Université; http://snv.jussieu.fr/bmedia/
	[5] Wikipédia
	[6] C. Perrier et al. Biologie BCPST1 tout-en-un, programme 2013. Dunod
	[7] Manuel de spécialité SVT, terminale générale. Editions Belin
	[8] O. Dautel et al. Biologie Géologie BCPST1. Vuibert